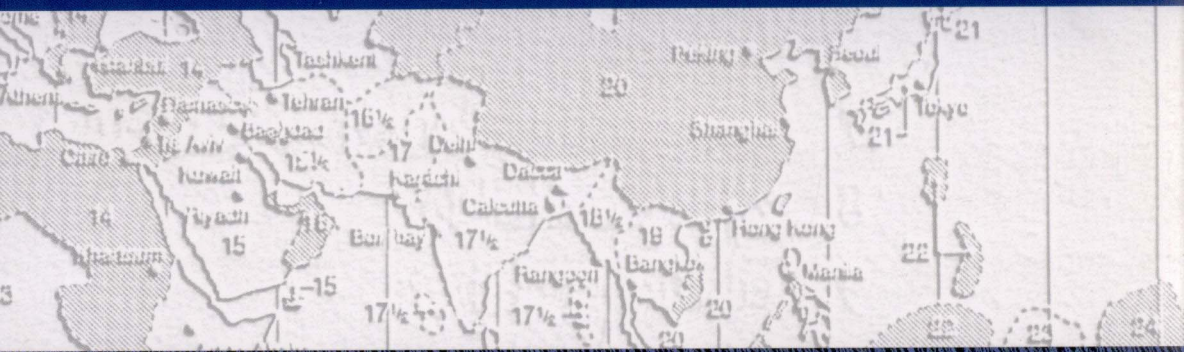




卓越系列 · 21世纪高职高专精品规划教材



电子技术实践指导书

INSTRUCTIONS FOR ELECTRONIC
TECHNICAL PRACTICE

主编 马玉国

卓越系列·21世纪高职高专精品规划教材

电子技术实践指导书

主编 马玉国

副主编 孟祥忠 王翔

主审 邓志良



天津大学出版社

TIANJIN UNIVERSITY PRESS

内容简介

本书是 21 世纪高职高专规划教材之一。全书共分 3 章：第 1 章介绍模拟电子技术实验；第 2 章介绍数字电子技术实验；第 3 章介绍电子技术职业技能训练。每项实验都包括实验目的、实验原理、实验预习要求、实验设备与器件、实验内容和实验报告等内容。

本书内容丰富，重点突出，特别强调实践技能和应用能力的训练。适宜高等职业技术院校相关专业作为实践教学的教材，也可作为专业培训和职业技能培训与测试用教材。

图书在版编目(CIP)数据

电子技术实践指导书/马玉国主编. —天津:天津大学出版社,2010. 1
(卓越系列)

21 世纪高职高专精品规划教材

ISBN 978-7-5618-3325-4

I . ①电… II . ①马… III . ①电子技术 - 高等学校：
技术学校 - 教学参考资料 IV . ①TN

中国版本图书馆 CIP 数据核字(2010)第 017663 号

出版发行 天津大学出版社

出版人 杨欢

地址 天津市卫津路 92 号天津大学内(邮编:300072)

电话 发行部:022-27403647 邮购部:022-27402742

网址 www.tjup.com

印刷 迁安万隆印刷有限责任公司

经销 全国各地新华书店

开本 169 mm × 239 mm

印张 14

字数 290 千

版次 2010 年 1 月第 1 版

印次 2010 年 1 月第 1 次

印数 1 - 3 000

定价 26.00 元

凡购本书，如有缺页、倒页、脱页等质量问题，烦请向我社发行部门联系调换

版权所有 侵权必究

前 言

《电子技术实践指导书》是高等职业院校现代电子技术基础课程“模拟电子与数字电子”的通用实验实训教材。为了适应现代电子技术的发展，满足社会对相关人才的需求，我们在教学实践中，根据近几年的教学经验，编写本书做为电子技术实践指导书。

本书紧扣高职培养目标，淡化验证性实验，增强实践，突出实训，注重对学生实际操作技能的培养。在编写中我们还查阅了大量的图书资料，博采众长，并充分利用现有实验设备，提高实验室利用率，确保实验开出率。

本书由大连职业技术学院电气电子工程技术系的马玉国、孟祥忠、王翔合编完成。其中第1章由马玉国老师编写，第2章由孟祥忠老师编写，第3章和附录由王翔老师编写。在编写本书过程中，我们得到了院系领导的指导和其他教师的支持，在此表示衷心的感谢。

由于编者水平有限，书中不妥之处在所难免，恳请读者批评指正。

编者

2009年12月

目 录

第1章 模拟电子技术基础实验	(1)
1.1 常用仪器使用实验	(1)
1.2 晶体管共射极单管放大器实验	(6)
1.3 场效应管放大器实验	(13)
1.4 负反馈放大器实验	(17)
1.5 射极跟随器实验	(21)
1.6 差动放大器实验	(25)
1.7 集成运算放大器指标测试实验	(29)
1.8 集成运算放大器基本电路实验	(35)
1.9 集成运算放大器电压比较器实验	(40)
1.10 集成运算放大器有源滤波器实验	(44)
1.11 集成运算放大器的波形发生器实验	(49)
1.12 RC 正弦波振荡器实验	(54)
1.13 LC 正弦波振荡器实验	(57)
1.14 函数信号发生器的组装与调试实验	(60)
1.15 压控振荡器实验	(63)
1.16 OTL 功率放大器实验	(65)
1.17 低频集成功率放大器实验	(69)
1.18 串联型晶体管直流稳压电源实验	(73)
1.19 直流集成稳压器实验	(79)
1.20 晶闸管可控整流电路实验	(83)
1.21 应用实验——温度监测及控制电路	(87)
1.22 综合实验——用运算放大器组成万用电表的设计与调试	(92)
第2章 数字电子技术基础实验	(98)
2.1 晶体管开关特性、限幅器与箝位器实验	(98)
2.2 TTL 集成逻辑门的逻辑功能与参数测试实验	(102)
2.3 CMOS 集成逻辑门的逻辑功能与参数测试实验	(108)
2.4 集成逻辑电路的连接和驱动实验	(111)
2.5 组合逻辑门电路的逻辑功能测试实验	(115)
2.6 译码器及其应用实验	(118)
2.7 数据选择器及其应用实验	(124)

2.8 触发器及其应用实验	(130)
2.9 移位寄存器及其应用实验	(137)
2.10 计数器及其应用实验	(144)
2.11 使用门电器产生脉冲信号——自激多谐振荡器实验	(149)
2.12 单稳态触发器与施密特触发器——脉冲延时与波形整形电路实验	
	(152)
2.13 555 时基电路及其应用实验	(158)
2.14 D/A、A/D 转换器实验	(164)
第3章 电子技术职业技能训练	(170)
3.1 电子实训预备知识	(170)
3.2 电流负反馈分压式放大电路安装接线及调试	(171)
3.3 电流负反馈分压式放大电路波形失真的故障判断与处理	(174)
3.4 W117 三端可调整稳压电路安装与调试	(178)
3.5 串联型稳压电路安装接线	(179)
3.6 串联型稳压电路故障判断与处理	(182)
3.7 CC7107 A/D 转换器组成的 3.5 位直流数字电压表	(185)
3.8 数字频率计	(189)
附录	(195)
附录一 CALTEKCA4810A 图示仪操作说明书	(195)
附录二 用万用电表检测常用电子元器件	(203)
附录三 电阻器的标称值及精度色环标志法	(207)
附录四 放大器干扰、噪声抑制和自激振荡的消除	(209)
附录五 CA2117 系列毫伏表原理及使用	(212)
附录六 集成电路逻辑门电路新、旧图形符号对照表	(214)
附录七 集成触发器新、旧图形符号对照表	(215)

第1章 模拟电子技术基础实验

1.1 常用仪器使用实验

1.1.1 实验目的

(1) 学习电子电路实验中常用的电子仪器——示波器、函数信号发生器、直流稳压电源、交流毫伏表、频率计等的主要技术指标、性能及正确的使用方法。

(2) 初步掌握用双踪示波器观察正弦信号波形和读取波形参数的方法。

1.1.2 实验原理

在模拟电子电路实验中,经常使用的电子仪器有示波器、函数信号发生器、直流稳压电源、交流毫伏表及频率计等。它们和万用表一起,可以完成对模拟电子电路的静态和动态工作情况的测试。

实验中要对各种电子仪器进行综合使用,可按照信号流向,以连线简捷、调节顺手、观察与读数方便等原则进行合理布局。各仪器与被测实验装置之间的布局与连接见图 1.1 所示。接线时应注意,为防止外界干扰,各仪器的公共接地端应连接在一起,称为共地。函数信号发生器和交流毫伏表的引线通常用屏蔽线或专用电缆线,示波器接线使用专用电缆线,直流稳压电源的接线用普通导线。

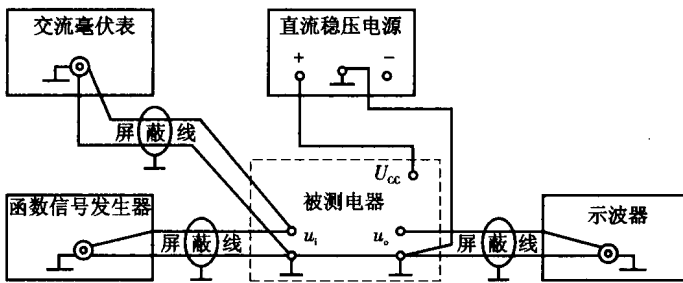


图 1.1 模拟电子电路中常用电子仪器示意

1. 示波器

示波器是一种用途很广的电子测量仪器,它既能直接显示电信号的波形,又能对电信号进行各种参数的测量。现着重指出下列几点。

(1) 寻找扫描光迹,将示波器 Y 轴显示方式置“ Y_1 ”或“ Y_2 ”,输入耦合方式置

“GND”。开机预热后,若在显示屏上不出现光点和扫描基线,可按下列操作找出扫描线:①适当调节亮度旋钮;②触发方式开关置“自动”;③适当调节垂直(\uparrow)、水平(\leftarrow)“位移”旋钮,使扫描光迹位于屏幕中央。(若示波器设有“寻迹”按键,可按下“寻迹”按键,判断光迹偏移基线的方向。)

(2) 双踪示波器一般有五种显示方式,即“ Y_1 ”、“ Y_2 ”、“ $Y_1 + Y_2$ ”三种单踪显示方式和“交替”、“断续”两种双踪显示方式。“交替”显示一般适宜于输入信号频率较高时使用,“断续”显示一般适宜于输入信号频率较低时使用。

(3) 为了显示稳定的被测信号波形,“触发源选择”开关一般选为“内”触发,使扫描触发信号取自示波器内部的Y通道。

(4) 触发方式开关通常先置于“自动”,调出波形后,若被显示的波形不稳定,可置触发方式开关于“常态”,通过调节“触发电平”旋钮找到合适的触发电压,使被测试的波形稳定地显示在示波器屏幕上。有时,由于选择了较慢的扫描速率,显示屏上将会出现闪烁的光迹,但被测信号的波形不在X轴方向左右移动,这样的现象仍属于稳定显示。

(5) 适当调节“扫描速率”开关及“Y轴灵敏度”开关,使屏幕上显示1~2个周期的被测信号波形。在测量幅值时,应注意将“Y轴灵敏度微调”旋钮置于“校准”位置,即顺时针旋到底,且听到关的声音。在测量周期时,应注意将“X轴扫速微调”旋钮置于“校准”位置,即顺时针旋到底,且听到关的声音。还要注意“扩展”旋钮的位置。

根据被测波形在屏幕坐标刻度上垂直方向所占的格数(div或cm)与“Y轴灵敏度”开关指示值(V/div)的乘积,即可算得信号幅值的实测值。

根据被测信号波形一个周期在屏幕坐标刻度水平方向所占的格数(div或cm)与“扫速”开关指示值(t/div)的乘积,即可算得信号频率的实测值。

2. 函数信号发生器

函数信号发生器按需要输出正弦波、方波、三角波三种信号波形。输出电压最大可达20V。通过输出衰减开关和输出幅度调节旋钮,可使输出电压在毫伏级范围内连续调节。函数信号发生器的输出信号频率可以通过频率分挡开关进行调节。

3. 交流毫伏表

交流毫伏表只能在其工作频率范围之内用来测量正弦交流电压的有效值。为了防止因过载而损坏,测量前一般先把量程开关置于量程较大位置上,然后在测量中逐挡减小量程。

1.1.3 预习要求

(1) 阅读本书附录一中有关示波器部分内容。

(2) 已知 $C = 0.01 \mu\text{F}$ 、 $R = 10 \text{ k}\Omega$, 计算图1.2 RC 移相网络的阻抗角 θ 。

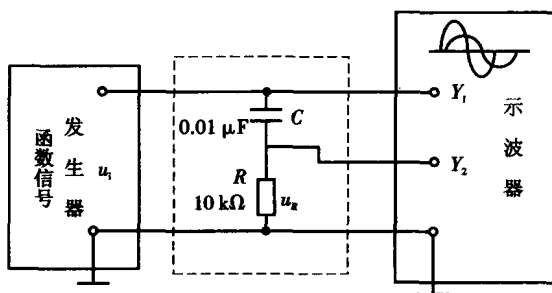


图 1.2 两波形间相位差测量电路

1.1.4 仪器设备

- (1) 函数信号发生器 1 台。
- (2) 双踪示波器 1 台。
- (3) 交流毫伏表 1 块。

1.1.5 实验内容

1. 用机内校正信号对示波器进行自检

(1) 扫描基线调节: 将示波器的显示方式开关置于“单踪”显示(Y_1 或 Y_2)，输入耦合方式开关置“GND”，触发方式开关置于“自动”。开启电源开关后，调节“辉度”、“聚焦”、“辅助聚焦”等旋钮，使荧光屏上显示一条细而且亮度适中的扫描基线。然后调节“X 轴位移(←)”和“Y 轴位移(↑)”旋钮，使扫描线位于屏幕中央，并且能上下左右移动自如。

(2) 测试“校正信号”: 通过专用电缆线引入选定的 Y 通道(Y_1 或 Y_2)，将 Y 轴输入耦合方式开关置于“AC”或“DC”，触发源选择开关置“内”，内触发源选择开关置“ Y_1 ”或“ Y_2 ”。调节 X 轴“扫描速率”开关(t/div)和 Y 轴“输入灵敏度”开关(V/div)，使示波器显示屏上显示出一个或数个周期稳定的方波波形。

①校准“校正信号”幅度: 将“Y 轴灵敏度微调”旋钮置“校准”位置，“Y 轴灵敏度”开关置适当位置，读取校正信号幅度，记入表 1.1。

表 1.1 校正信号幅度

	标准值	实测值
幅度 $U_{pp}(V)$		
频率 $f(kHz)$		

续表

	标准值	实测值
上升沿时间 (μs)		
下降沿时间 (μs)		

注:不同型号示波器标准值有所不同,请按所使用示波器将标准值填入表格中。

②校准“校正信号”频率:将“扫速微调”旋钮置“校准”位置,“扫速”开关置适当位置,读取校正信号频率,记入表 1.1。

③测量“校正信号”的上升沿时间和下降沿时间:调节“Y 轴灵敏度”开关及微调旋钮,并移动波形,使方波波形在垂直方向上正好占据中心轴上且上、下对称,便于阅读。通过扫速开关逐级提高扫描速度,使波形在 X 轴方向扩展(必要时可以利用“扫速扩展”开关将波形再扩展 10 倍),同时调节触发电平旋钮,从显示屏上清楚地读出上升沿时间和下降沿时间,记入表 1.1。

2. 用示波器和交流毫伏表测量信号参数

调节函数信号发生器有关旋钮,使输出频率分别为 100 Hz、1 kHz、10 kHz、100 kHz,有效值均为 1 V(交流毫伏表测量值)的正弦波信号。

改变示波器“扫速”开关及“Y 轴灵敏度”开关等位置,测量信号源输出电压频率及峰 - 峰值,记入表 1.2。

表 1.2 测量信号源输出电压

信号电压频率	示波器测量值		信号电压	示波器测量值	
	周期(ms)	频率(Hz)	毫伏表读数(V)	峰 - 峰值(V)	有效值(V)
100 Hz					
1 kHz					
10 kHz					
100 kHz					

3. 测量两波形间相位差

1) 观察双踪显示波形“交替”与“断续”两种显示方式的特点

Y_1 、 Y_2 均不加输入信号,输入耦合方式置“GND”,扫速开关置扫速较低挡位(如 0.5 s/div 挡)和扫速较高挡位(如 5 $\mu\text{s}/\text{div}$ 挡),把显示方式开关分别置“交替”和“断续”位置,观察两条扫描基线的显示特点,记录之。

2) 用双踪显示测量两波形间相位差

①按图 1.2 连接实验电路,将函数信号发生器的输出电压调至频率为 1 kHz,幅

值为 2 V 的正弦波, 经 RC 移相网络获得频率相同但相位不同的两路信号 u_i 和 u_R , 分别加到双踪示波器的 Y_1 和 Y_2 输入端。为便于稳定波形, 比较两波形相位差, 应使内触发信号取自被设定作为测量基准的一路信号。

②把显示方式开关置“交替”挡位, 将 Y_1 和 Y_2 输入耦合方式开关置“ \perp ”挡位, 调节 Y_1 、 Y_2 的移位旋钮, 使两条扫描基线重合。

③将 Y_1 和 Y_2 输入耦合方式开关置“AC”挡位, 调节触发电平、扫速开关及 Y_1 、 Y_2 灵敏度开关位置, 使在荧光屏上显示出易于观察的两个相位不同的正弦波形 u_i 及 u_R , 如图 1.3 所示。根据两波形在水平方向差距 X 及信号周期 X_T , 则可求得两波形相位差为

$$\theta = \frac{X(\text{div})}{X_T(\text{div})} \times 360^\circ$$

式中: X_T ——周期所占格数;

X ——两波形在 X 轴方向的差距格数。

记录两波形相位差于表 1.3。

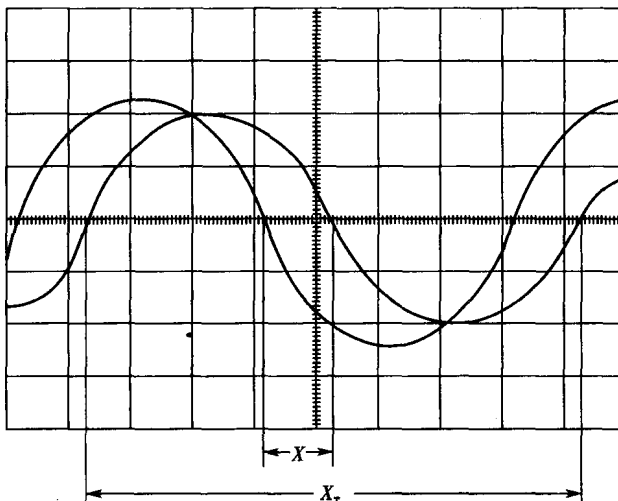


图 1.3 双踪示波器显示两相位不同的正弦波

表 1.3 两波形相位差

一周期格数 $X_T =$	两波形 X 轴差距格数 $X =$	相位差	
		实测值 $\theta =$	计算值 $\theta =$

为读数和计算方便, 可适当调节扫速开关及微调旋钮, 使波形一周期占整数格。

1.1.6 实验报告

(1) 整理实验数据，并进行分析。

(2) 问题讨论：

① 如何操纵示波器的有关旋钮，以便从示波器显示屏上观察到稳定、清晰的波形？

② 用双踪显示波形，并要求比较相位时，为在显示屏上得到稳定波形，应怎样选择下列开关的位置？

(a) 显示方式选择 ($Y_1, Y_2, Y_1 + Y_2$ 、交替、断续)；

(b) 触发方式选择 (常态、自动)；

(c) 触发源选择 (内、外)；

(d) 内触发源选择 (Y_1, Y_2 、交替)。

③ 交流毫伏表是用来测量正弦波电压还是非正弦波电压？它的表头指示值是被测信号的什么数值？它是否可以用来测量直流电压的大小？

1.2 晶体管共射极单管放大器实验

1.2.1 实验目的

(1) 学会放大器静态工作点的调试方法，分析静态工作点对放大器性能的影响。

(2) 掌握放大器电压放大倍数、输入电阻及最大不失真输出电压的测试方法。

(3) 熟悉常用电子仪器及模拟电路实验设备的使用。

1.2.2 实验原理

图 1.4 为电阻分压式工作点稳定共射极单管放大器实验电路图。它的偏置电路采用 R_{B1} 和 R_{B2} 组成的分压电路，并在发射极中接有电阻 R_E ，以稳定放大器的静态工作点。当在放大器的输入端加入输入信号 u_i 后，在放大器的输出端便可得到一个与 u_i 相位相反、幅值被放大的输出信号 u_o ，从而实现了电压放大。

在图 1.4 电路中，当流过偏置电阻 R_{B1} 和 R_{B2} 的电流大于晶体管 V 的基极电流 I_B 时（一般 5~10 倍），则它的静态工作点可用下式估算

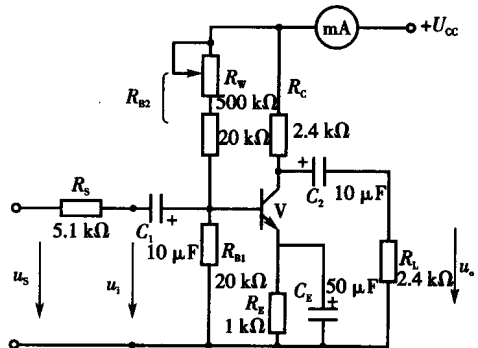


图 1.4 共射极单管放大器实验电路

$$U_B \approx \frac{R_{B1}}{R_{B1} + R_{B2}} U_{CC}$$

$$I_E \approx \frac{U_B - U_{BE}}{R_E} \approx I_C$$

$$U_{CE} = U_{CC} - I_C (R_C + R_E)$$

电压放大倍数

$$A_u = -\beta \frac{R_C \parallel R_L}{r_{BC}}$$

输入电阻

$$R_i = R_{B1} \parallel R_{B2} \parallel r_{BC}$$

输出电阻

$$R_o \approx R_C$$

由于电子器件性能的分散性比较大,因此在设计和制作晶体管放大电路时,离不开测量和调试技术。在完成设计和装配以后,还必须测量和调试放大器的静态工作点和各项性能指标。一个优质放大器,必定是理论设计与实验调整相结合的产物。因此,除了学习放大器的理论知识和设计方法外,还必须掌握必要的测量和调试技术。

放大器的测量和调试一般包括:放大器静态工作点的测量与调试、消除干扰与自激振荡及放大器各项动态参数的测量与调试等。

1. 放大器静态工作点的测量与调试

1) 静态工作点的测量

测量放大器的静态工作点,应在输入信号 $u_i = 0$ 的情况下进行,即将放大器输入端与地端短接,然后选用量程合适的直流毫安表和直流电压表,分别测量晶体管的集电极电流 I_C 以及各电极对地的电位 U_B 、 U_C 和 U_E 。一般实验中,为了避免断开集电极,常采用测量电压 U_E 和 U_C ,然后算出 I_C 的方法。例如,只要测出 U_E ,即可用 $I_C \approx I_E = U_E / R_E$ 算出 I_C (也可根据 $I_C = (U_{CC} - U_C) / R_C$,由 U_C 确定 I_C),同时也能算出 $U_{BE} = U_B - U_E$, $U_{CE} = U_C - U_E$ 。

为了减小误差,提高测量精度,应选用内阻较高的直流电压表。

2) 静态工作点的调试

放大器静态工作点的调试是指对管子集电极电流 I_C (或 U_{CE})的调试与测试。

静态工作点是否合适,对放大器的性能和输出波形都有很大影响。如工作点偏高,放大器在加入交流信号以后易产生饱和失真,此时 u_o 的负半周将被削底,如图 1.5(a)所示;如工作点偏低则易产生截止失真,即 u_o 的正半周被缩顶(一般截止失真不如饱和失真明显),如图 1.5(b)所示。这些情况不符合不失真放大要求。所以在选定工作点以后还必须进行动态调试,即在放大器的输入端加入一定的输入电压 u_i ,检查输出电压 u_o 的大小和波形是否满足要求。如不满足,则应调节静态工作点的位置。

置。

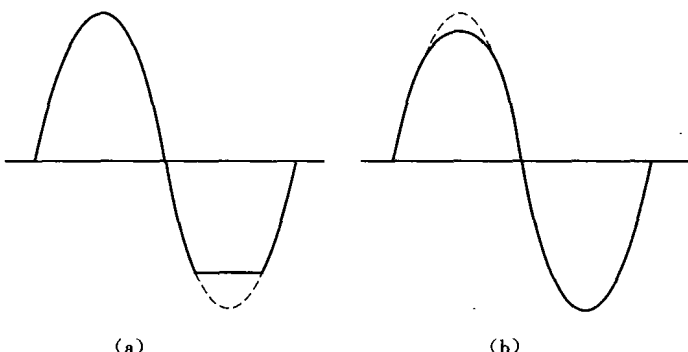


图 1.5 静态工作点对 u_o 波形失真的影响

(a) 饱和失真; (b) 截止失真

改变电路参数 U_{CC} 、 R_C 、 R_S (R_{B1} 、 R_{B2}) 都会引起静态工作点的变化, 如图 1.6 所示。但通常多采用调节偏置电阻 R_{B2} 的方法来改变静态工作点, 如减小 R_{B2} 则可使静态工作点提高等。

需要说明的是, 上面所说的工作点“偏高”或“偏低”不是绝对的, 应该是相对信号的幅度而言, 如输入信号幅度很小, 即使工作点较高或较低也不一定会出现失真。所以确切地说, 产生波形失真是信号幅度与静态工作点设置配合不当所致。如需满足较大信号幅度的要求, 静态工作点最好尽量靠近交流负载线的中点。

2. 放大器动态指标测量与调试

放大器动态指标包括电压放大倍数、输入电阻、输出电阻、最大不失真输出电压(动态范围)和通频带等。

1) 电压放大倍数 A_u 的测量

调整放大器到合适的静态工作点, 然后加入输入电压 u_i , 在输出电压 u_o 不失真的情况下, 用交流毫伏表测出 u_i 和 u_o 的有效值 U_i 和 U_o , 则

$$A_u = \frac{U_o}{U_i}$$

2) 输入电阻 R_i 的测量

为了测量放大器的输入电阻, 按图 1.7 电路在被测放大器的输入端与信号源之间串入一已知电阻 R , 在放大器正常工作的情况下, 用交流毫伏表测出 U_s 和 U_i , 则根

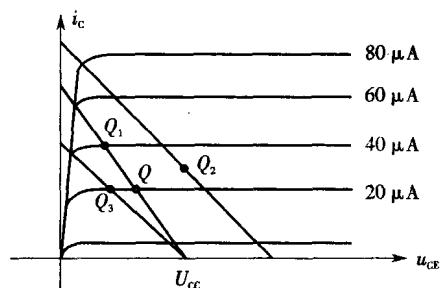


图 1.6 电路参数对静态工作点的影响

据输入电阻的定义可得

$$R_i = \frac{U_i}{I_i} = \frac{U_i}{\frac{U_R}{R}} = \frac{U_i}{U_s - U_i} R$$

测量时应注意下列几点。

①由于电阻 R 两端没有电路公共接地点, 所以测量 R 两端电压 U_R 时必须分别测出 U_s 和 U_i , 然后按 $U_R = U_s - U_i$ 求出 U_R 值。

②电阻 R 的值不宜取得过大或过小, 以免产生较小的测量误差, 通常取 R 与 R_i 为同一数量级为好, 本实验可取 $R = 1 \sim 2 \text{ k}\Omega$ 。

3) 输出电阻 R_o 的测量

按图 1.7 电路, 在放大器正常工作条件下, 测出输出端不接负载 R_L 的输出电压 U_o 和接入负载后的输出电压 U_L , 根据

$$U_L = \frac{R_L}{R_o + R_L} U_o$$

即可求出

$$R_o = \left(\frac{U_o}{U_L} - 1 \right) R_L$$

在测试中应注意, 必须保持 R_L 接入前后输入信号的大小不变。

4) 最大不失真输出电压 U_{opp} 的测量(最大动态范围)

如上所述, 为了得到最大动态范围, 应将静态工作点调在交流负载线的中点, 为此在放大器正常工作情况下, 逐步增大输入信号的幅度, 并同时调节 R_w (改变静态工作点), 用示波器观察 U_o , 当输出波形同时出现削底和缩顶现象(见图 1.8)时, 说明静态工作点已调在交流负载线的中点。然后, 反复调整输入信号, 使波形范围等于 $2\sqrt{2}U_o$, 或用示波器直接读出 U_{opp} 来。

5) 放大器幅频特性的测量

放大器的幅频特性是指放大器的电压放大倍数 A_u 与输入信号频率 f 之间的关系曲线。单管阻容耦合放大电路的幅频特性曲线如图 1.9 所示, A_{um} 为中频电压放大倍数, 通常规定电压倍数随频率变化下降到中频放大倍数的 $1/\sqrt{2}$ 倍, 即 $0.707A_{um}$, 所对应的频率分别称为下限频率 f_L 和上限频率 f_H , 则通频带 $f_{BW} = f_H - f_L$ 。

测量放大器的幅频特性就是测量不同频率信号时的电压放大倍数 A_u 。为此, 可采用前述测 A_u 的方法, 每改变一个信号频率, 测量其相应的电压放大倍数, 测量时应注意取点要恰当, 在低频段与高频段应多测几点, 在中频段可以少测几点。此外, 在改变频率时, 要保持输入的幅度不变, 输出波形不得失真。

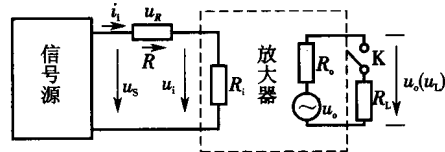


图 1.7 输入、输出电阻测量电路

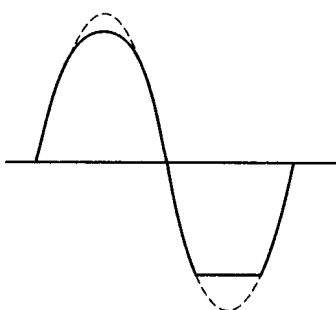


图 1.8 静态工作点正常，输入信号太大引起的失真

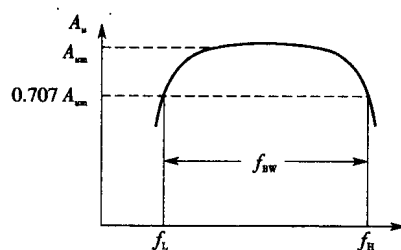


图 1.9 幅频特性曲线

1.2.3 预习要求

- (1) 阅读教材中有关单管放大电路的内容并估算实验电路的性能指标。假设：3DG6 的 $\beta = 100$, $R_{B1} = 20 \text{ k}\Omega$, $R_{B2} = 60 \text{ k}\Omega$, $R_C = 2.4 \text{ k}\Omega$, $R_L = 2.4 \text{ k}\Omega$ 。估算放大器的静态工作点，电压放大倍数 A_u ，输入电阻 R_i 和输出电阻 R_o 。
- (2) 阅读本书附录四中有关放大器干扰和自激振荡消除的内容。
- (3) 能否用直流电压表直接测量晶体管的 U_{BE} ? 为什么实验中要采用测 U_B 、 U_E ，再间接算出 U_{BE} 的方法?
- (4) 怎样测量 R_{B2} 阻值?
- (5) 当调节偏置电阻 R_{B2} ，使放大器输出波形出现饱和失真和截止失真时，晶体管的管压降 U_{CE} 怎样变化?
- (6) 改变静态工作点对放大器的输入电阻 R_i 有否影响? 改变外接电阻 R_i 对输出电阻 R_o 有否影响?
- (7) 在测试 A_u 、 R_i 和 R_o 时怎么样选择输入信号的大小和频率?

1.2.4 仪器设备

- (1) +12 V 直流电源 1 台。
- (2) 函数信号发生器 1 台。
- (3) 双踪示波器 1 台。
- (4) 交流毫伏表 1 块。
- (5) 直流电压表 1 块。
- (6) 直流毫安表 1 块。
- (7) 频率计 1 台。
- (8) 万用电表 1 块。
- (9) 晶体三极管 3DG6 × 1 ($\beta = 50 \sim 100$) 或 9011 × 1 (管脚排列见图 1.10)。

(10) 电阻器、电容器若干。

1.2.5 实验内容

实验电路如图 1.4 所示。各电子仪器可按实验 1.1 中图 1.1 所示方式连接,为防止干扰,各仪器的公共端必须连在一起,同时信号源、交流毫伏表和示波器的引线应采用专用电缆线或屏蔽线,如果使用屏蔽线,则屏蔽线的外包金属网应接在公共接地端上。

1. 调试静态工作点

接通直流电源前,先将 R_w 调至最大,函数

信号发生器输出旋钮旋至零。接通 +12 V 电源、调节 R_w 使 $I_c = 2.0 \text{ mA}$,用直流电压表测量 U_B 、 U_C 、 U_E 值及用万用表测量 R_{B2} 值,记入表 1.4。

表 1.4 调试静态工作点

测量值				计算值		
U_B (V)	U_E (V)	U_C (V)	R_{B2} (kΩ)	U_{BE} (V)	U_{CE} (V)	I_c (mA)

2. 测量电压放大倍数

在放大器输入端加入频率为 1 kHz 的正弦信号 u_s ,调节函数信号发生器的输出旋钮使放大器输入电压 $U_i \approx 10 \text{ mV}$,同时用示波器观察放大器输出电压 u_o 波形,在波形不失真的条件下用交流毫伏表测量下述三种情况下的 U_o 值,并用双踪示波器观察 u_o 和 u_i 的相应关系,记入表 1.5。

表 1.5 测量电压放大倍数

R_o (kΩ)	R_L (kΩ)	U_o (V)	A_u	观察记录一组 u_o 和 u_i 波形
2.4	∞			
1.2	∞			
2.4	2.4			

3. 观察静态工作点对电压放大倍数的影响

置 $R_C = 2.4 \text{ k}\Omega$, $R_L = \text{无穷大}$, U_i 适量, 调节 R_w , 用示波器监视输出电压波形,在 u_o 不失真的条件下,测量数组 I_c 和 U_o 值,记入表 1.6。

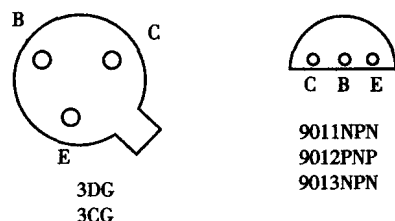


图 1.10 晶体三极管管脚排列